

172400

苏联H.Ф.奥西波夫斯基著

高压鼓型鍋炉的运行

电力工业出版社

高压鼓型鍋爐的运行

苏联H.Φ.奥西波夫斯基著

朱 泰譯

电力工业出版社

内 容 提 要

本書討論与高压鼓型鍋炉运行特点有关的主要問題。

本書叙述了高压設備經濟性以及高参数蒸汽性質的原理，按照鍋炉机组个别元件的工作条件而采用的金屬的特性数据；介绍了鍋炉机组个别元件如蒸汽过热器、省煤器、汽水門等的运行特点。

書中另有專門篇幅叙述水循环的特性、水处理以及高参数蒸汽鍋炉机组升火的特点。

Н.Ф.ОСИПОВСКИЙ

ЭКСПЛУАТАЦИЯ БАРАБАННЫХ КОТЛОВ ВЫСОКОГО ДАВЛЕНИЯ

ГОСЭНЕРГОИЗДАТ МОСКВА 1953

高压鼓型鍋炉的运行

根据苏联国立动力出版社1953年莫斯科版翻譯

朱 泰譯

*

496R117

电力工业出版社出版(北京市右街26号)

北京市書刊出版業營業許可證出字第082号

北京市印刷一厂排印 新华書店發行

*

787×1092 $\frac{1}{5}$ 开本 * 17 $\frac{5}{8}$ 印張 * 361千字 * 定价(第10类)2.40元

1957年5月北京第1版

1957年5月北京第1次印刷(0001—5,100册)

下

序

在战后的五年計劃年代中，苏联动力工業的發展是以广泛採用先进的新技术和高参数蒸汽(鍋爐机組后为 100 表大气压, 510°C)为基础的。

对近年来投入生产的高压發电厂的掌握已經卓有成效。

高蒸汽参数，以及發电厂运行水平的提高保証了1950 年發一度电的标准煤耗比較战前的 1940 年下降了 9.2%。但同时高蒸汽参数的应用也对运行人員提出了許多在使用中压设备时所不会碰到的新的問題。

在鍋爐机組元件內和汽輪机內所發生的物理和化学过程是因使用高参数蒸汽而变得复杂化了。与中压设备比較，其中特別是金屬的工作条件有了变化，对蒸氣品質和爐水处理的要求提高了，汽水門和法蘭接合的工作条件也复杂化了。

由於金屬的工作条件比較困难，因此有必要採用相应的焊接技术以及对受压的鍋爐元件——蒸氣过热器，蒸氣管等等进行比較严格的監督。

以上所述的情况引起了对發电厂设备的構造特点及其工作原理进行比較深刻的研究，和对許多因採用高参数蒸汽而發生的物理現象进行了解的必要性。

为便於运行人員解决管理高压鍋爐时日常工作中所發生的复杂問題以及紧急判定设备运行中所發生的个别現象，作者以多年的調整和試驗高压鼓型鍋爐工作經驗以及研究和調整機構所公佈的資料为基础，綜合了此种设备的现有的运行經驗。

本書簡要地敍述了高压设备經濟性的基本情况，高参数蒸汽的性

質，以及高压鍋爐構造上的特点。对採用於現代鍋爐制造的金屬曾給以更多的注意，列出了關於鍋爐个别元件强度安全系数的数据，敍述了金屬在一定工作条件下的容許溫度的計算方法。

在高压鍋爐运行中，对升火时期厚壁汽鼓和受热面管子的加热，輻射和对流型蒸汽过热器以及省煤器的冷却等問題的考慮有着特殊的意义。

本書个别的几章还討論了鍋爐机组个别元件（蒸汽过热器，省煤器，汽水門等等）的工作特点。

为了編纂研究的数据，利用了研究和調整機構所公佈的材料，文献內的数据以及著者在苏联电業联合改进局長期工作中对鍋爐設備所进行的試驗和調整工作所积累的資料。

著者鑑於摆在他面前的任务——減輕运行人員在掌握和熟悉高压鍋爐設備工作中的困难，是相当艰巨的；因此，对指出本書中存在的缺点預先表示感謝。所有的意見請逕寄下列地址——莫斯科水閘河岸街 10 号国立动力出版社。

著者对 Я. М. 奥斯特洛夫斯基工程师；技术科学博士，H. Г. 别茨魯科夫教授；技术科学博士，M. C. 歇哥罗比教授；技术科学硕士，A. B. 罗地尼； M. O. 雅布尼茨基工程师；Д. И. 克魯茨明工程师和 C. M. 歇哈尔工程师在审閱原稿和原稿的个别章节时所提出的宝贵的意見表示深切的謝意。

著 者

目 录

序

緒言	6
第一章 高参数蒸汽的主要性質	9
第二章 高压鼓型鍋爐構造上的特点	22
第三章 用於高压设备的金屬	57
3-1. 鍋爐设备元件金屬应力的各种特性	57
3-2. 表明金屬强度的指标	61
3-3. 溫度达 400—425° C 的鍋爐设备元件內的容許应力	63
3-4. 在高蒸汽参数下工作的鍋爐设备元件的容許应力	66
3-5. 提高鋼材抗蠕性的因素	70
3-6. 当在高溫度下工作时，鋼材結構內發生的变化	74
3-7. 用在高压鍋爐上的主要鋼材的簡要特性	79
3-8. 用以制造高压鍋爐个别元件的金屬	83
3-9. 运行中鍋爐机組元件金屬的损坏的性質	95
3-10. 高压鍋爐金屬品質和它的运行中的性狀的監督	100
第四章 蒸汽过热器	117
4-1. 蒸汽过热器系統	117
4-2. 对流型和辐射型蒸汽过热器的特性	126
4-3. 高压蒸汽过热器管壁的工作情况	131
4-4. 运行因素对高压蒸汽过热器工作的影响	136
4-5. 高压鍋爐过热蒸汽溫度的調整	147
4-6. 由蒸汽过热器管损坏引起的事故的分析	163
4-7. 高压鍋爐蒸汽过热器的阻力	170
4-8. 高压鍋爐蒸汽过热器的运行特点	175
第五章 省煤器	177

5-1. 高压省煤器的型式	177
5-2. 高压省煤器構造上的特点	182
5-3. 省煤器內的水速	188
5-4. 沸騰型省煤器的不稳定的工作狀況	190
5-5. 省煤器联箱的手孔接合	194
5-6. 省煤器蛇形管的固定	195
5-7. 省煤器管焊縫內气孔的形成	196
5-8. 与省煤器焊縫內气孔的产生作斗争的主要方法	202
5-9. 省煤器管內表面腐蚀性破坏的監督	205
第六章 高压鍋爐內水的循环	208
6-1. 循环回路的簡要特性	208
6-2. 循环回路安全工作的主要条件	215
6-3. 个别运行因素对水的循环的影响	227
6-4. 測定鍋爐循环回路內水速的裝置的簡要特性	232
第七章 蒸汽管及汽水門的法蘭接合	235
7-1. 法蘭接合的簡要特性	235
7-2. 梳形垫料	237
7-3. 透鏡式垫料	245
7-4. 薄膜形垫料, 無垫料的法蘭接合, 波形金屬-石棉垫料	247
7-5. 高压法蘭接合的銷釘和螺絲帽	248
第八章 啓閉汽水門	258
8-1. 閥門和截門的構造特点	258
8-2. 密封面的特性	263
8-3. 高压汽水門的構造和运行特点	269
8-4. 疏水系統和疏水門	280
8-5. 汽水門严密度的監督	285
8-6. 密封面的加工要求	288
第九章 水位計	291
第十章 安全門	306
第十一章 鍋爐机組的升火	321
11-1. 一般情況	321

11-2. 升火时鍋爐受热面的加热.....	323
11-3. 升火时汽鼓的加热.....	328
11-4. 蒸汽管的暖管.....	336
11-5. 鍋爐机組升火的延續時間.....	338
11-6. 升火前注入鍋爐內的水的容許溫度.....	340
11-7. 升火前鍋爐加水的延續時間.....	343
11-8. 鍋爐机組升火时蒸汽过热器的冷却.....	343
11-9. 鍋爐机組与蒸汽母管隔絕后的冷却.....	362
11-10. 用以冷却蒸汽过热器的蒸汽的利用.....	366
11-11. 表面式蒸汽冷却器的加热.....	368
11-12. 鍋爐升火时省煤器的冷却.....	369
第十二章 水处理.....	373
12-1. 天然水.....	373
12-2. 水垢对蒸發受热面的工作的影响.....	376
12-3. 水的品質指标.....	377
12-4. 爐水的磷酸處理.....	384
12-5. 具有高溶解度的鹽类的沉淀.....	388
12-6. 面性脆化.....	393
12-7. 饱和蒸汽.....	395
12-8. 饱和蒸汽的取样.....	404
12-9. 汽鼓的内部裝置.....	407
12-10. 鍋爐的排污.....	418
12-11. 爐水携带的鹽类在蒸汽过热器和汽輪机蒸汽管道內的性狀.....	421
12-12. 防止面性脆化的水处理方法.....	426
参考文献.....	429

緒 言

近 15—20 年以来，用提高蒸汽初参数（压力和温度）的办法提高了热力设备的经济性。近年来为本国锅炉制造工厂所广泛采用的最高汽压为 100 公斤/平方公分（在机组隔绝截门后），而过热蒸汽温度则为 500—510°C（苏联国家标准 3619-47）。从压力为 29 公斤/平方公分，425°C（汽轮机前）过渡到压力为 90 公斤/平方公分，480~490°C，可使电能生产的燃料消耗降低 12~14%。

科学研究组织和设计机构（苏联中央机炉研究所，全苏热工研究所，莫斯科动力学院，火电设计院）所进行的技术经济研究指明，仅仅将压力从 90 提高到 170 公斤/平方公分，就可以降低电能生产的燃料消耗 5% 左右。随着压力的继续提高（大于 170 公斤/平方公分），经济性的增长就比较缓慢。

热力设备的经济性是随蒸汽初温度的提高而增长的。发电厂经济性的提高差不多与这个温度的提高成正比，但是经济性随压力的增高而增长就有着衰减的特性。当采用高的初压力和初温度（550—580°C）时，对于蒸汽过热器和蒸汽管就必须使用贵重的高级合金钢（奥司丁体级）。设备价格的急剧上涨引起了限制初温度的必然性；现代最高的、技术上容许的汽轮机前的蒸汽温度为 550—580°C。这个温度的提高是与继续掌握价格上合理和强度上安全的合金钢有关系的。

现代苏联超高蒸汽参数设备所采用的汽轮机前蒸汽压力为 170 公斤/平方公分、550°C，並將蒸汽中間加热到 525°C。

表明凝汽式发电厂经济性的主要指标是它的总效率 η_{cm}^{6p} 和相应的发出一度电的单位耗热量（或标准煤耗）。

在表 1 中列举了个别高压和压力较高的凝汽式发电厂以及高压中心热电厂的电能生产标准煤耗值，以作比较。

表1

蒸 汽 参 数		發 电 厂 型 式	發一度电的 标准耗煤值 克/度
压 力, 公斤/平方公分	过热蒸汽温度, °C		
29	420	凝汽式	490
80	500	凝汽式	470
100	510	凝汽式	430
100	510	容量 50 000 瓩的热电中心厂 (按标准设计), 用抽汽供给地区 热能	315
100	510	同上, 带中间加热, 和用抽汽 供给地区热能	293

从比较工作压力为 29 和 100 公斤/平方公分的发电厂可知, 100 公斤/平方公分的发电厂的生产电能的燃料消耗量要少:

$$\frac{490 - 430}{430} \cdot 100 \approx 14\%.$$

发电厂的效率一般用下列等式表示之:

$$\eta_{cm}^{6p} = \eta_{ky}^{6p} \eta_{mn} \eta_{kaw}^{6p}, \quad (1)$$

式中 η_{ky}^{6p} —— 锅炉房的总效率;

η_{mn} —— 与运行水平有关的热流效率, 为 96—98%;

η_{kaw}^{6p} —— 汽轮机间的总效率。

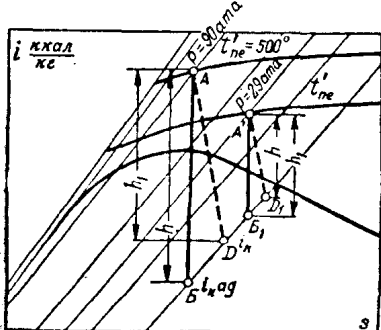


图 1 汽轮机热力过程的 *is* 图

随着蒸汽参数(蒸汽压力和温度)的提高, 热力设备经济性(η_{cm}^{6p})的增長由下列因素决定:

- 增大汽轮机内的热力降, 即减少发出一度电的单位热耗和汽耗(图 1);
- 采用再生加热给水;
- 实行中间加热蒸汽。

在具有再生加热的凝汽式设备

中，發出一度电的單位耗热量用下列关系表示

$$q_3 = \frac{D(i_{ne} - t_{n.e})}{W} = d(i_{ne} - t_{n.e}), \quad (2)$$

式中 D —— 蒸汽量，吨/小时；

i_{ne} —— 过热蒸汽含热量，大卡/公斤；

$t_{n.e}$ —— 給水含热量，大卡/公斤；

W —— 汽輪發电机負荷，瓩；

$d = \frac{D}{W}$ —— 發出一度电的耗汽量。

从式(2)可知，热耗 q_3 随再生加热器后給水含热量的提高而减少。随着初压力的提高，再生循环內的經濟水温增大了，这就使得它的效率有所提高。

對於蒸汽压力为 100 公斤/平方公分的設備，其省煤器前的給水溫度採用 215°C (苏联国家标准 3619-47)。

蒸汽参数的提高並不影响鍋爐房的效率值。因此，隨着蒸汽压力和溫度的增大，發电厂的經濟性 (η_{cm}^{60}) 是依靠汽輪發电机设备的效率提高而增長的。在任何情况下，只有当鍋爐机组具有高的經濟性时，热力發电厂才可能有高数值的效率。

为了提高設備的經濟性，同时保持汽輪机通汽部分端部的蒸汽湿度在容許範圍以内，要採用蒸汽的中間加热(圖 11-37 的系統)。

圖 2 的曲線表明蒸汽在汽輪机內膨脹后，其端部的蒸汽湿度与初压力和初溫度的关系曲線。

当蒸汽初溫度不变时，端部湿度随蒸汽初压力的提高而增加。

在汽流內形成的水滴使叶片受到机械的磨损(侵蝕)並降低汽輪机的相对内效率。因此，現代凝汽式汽輪机的最后級出口蒸汽湿度的數

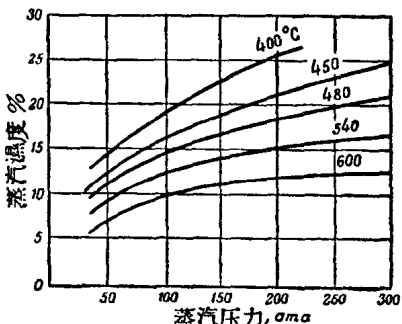


圖 2 汽輪机排气湿度与蒸汽初压力及初溫度的关系曲線

值应限制在 12—14%。

当具有中間加热时，汽輪机設備內的热力降 h 为：

$$h = i_{ne} - i_k + \Delta i_{en}, \quad (3)$$

式中 i_{ne} ——新蒸汽含热量，大卡/公斤；

i_k ——凝汽器内蒸汽实际含热量，大卡/公斤；

Δi_{en} ——在中間蒸汽过热器內傳送給蒸汽的热量，大卡/公斤。

在具有中間加热的设备內，發一度电的耗汽量用下列等式表示

$$d = \frac{860}{(i_{ne} - i_k + \Delta i_{en}) \eta_s \eta_i}, \quad (4)$$

从上式可知，若中間蒸汽过热器系統內的压力降很小（以及可以略去不計），採用中間的蒸汽过热器就可以降低汽輪發电机的电能生产耗汽量。在現代设备中，中間加热通常用裝置在高压鍋爐机組烟道內的蒸汽过热器来进行（圖 2-14）。当蒸汽压力为 90—110 公斤/平方公分时，苏联發电厂过去不採用中間加热，蓋因设备投資价值較昂貴，而發电厂的热力系統又較复杂的緣故。

苏联已經創立了强大的力能基地。現在高压發电厂容量佔到全部热力發电厂容量的 27.2%，並超过了战前水平 18 倍。根据十九次党代表大会的決議，在第五个五年計劃期內預定要增加發电厂总容量达一倍。除水力發电厂以外，力能建設的增長將在广泛發展高参数和超高蒸汽参数的热力發电厂以及採用自动化的热力生产过程的基础上进行之。

当正确組織發电厂和——首先是一——工艺过程管理复杂的现代化的大型鍋爐机組的运行时，所要求的經濟性水平是可能达到的。

第一章 高参数蒸汽的主要性質

在高参数水蒸汽应用於力能上以前，对它的热力学性質曾进行过長期的研究。在世界上个别国家內，从事水蒸汽性質的試驗已达 100

年以上。虽然如此，不久前水蒸气性质的研究实验材料还远未能将那些对热力工程重要的参数包括在内。

最初发表的蒸汽表和水蒸气曲线图在很大程度上是从延长蒸汽状态方程式计算求出的数据构成的，由此得出的数值，包括许多经验系数在内，並不能認為十分确实可靠。

1929, 1931 和 1934 年的国际専門會議曾对水蒸气表問題进行了討論。由於举行这些會議的結果拟出了所謂“骨幹”的水蒸气表。以后的每一次會議又根据最新的試驗結果确定了表的支撑点及其容許誤差。到第三次国际會議召开时，已經进行过一些高压和 500°C 高温含热量的测定工作；也試驗了压力到 360 公斤/平方公分和温度到 450°C 的比容。

1946 年苏联出版了 M. II. 伏加洛佛佳(莫斯科动力学院)的水蒸气表。伏加洛佛佳的圖表是根据水蒸气状态方程式制成的；包含在这个方程式內的常数是以第三屆国际會議的“骨幹”表为依据的。

根据所採用的方程式構成了从 0 到 300 公斤/平方公分，温度从 0 到 550°C 范圍內的水蒸气热力性質表。在 1951 年出版的修正第四版的圖表中，其温度範圍扩充到了 700°C 。

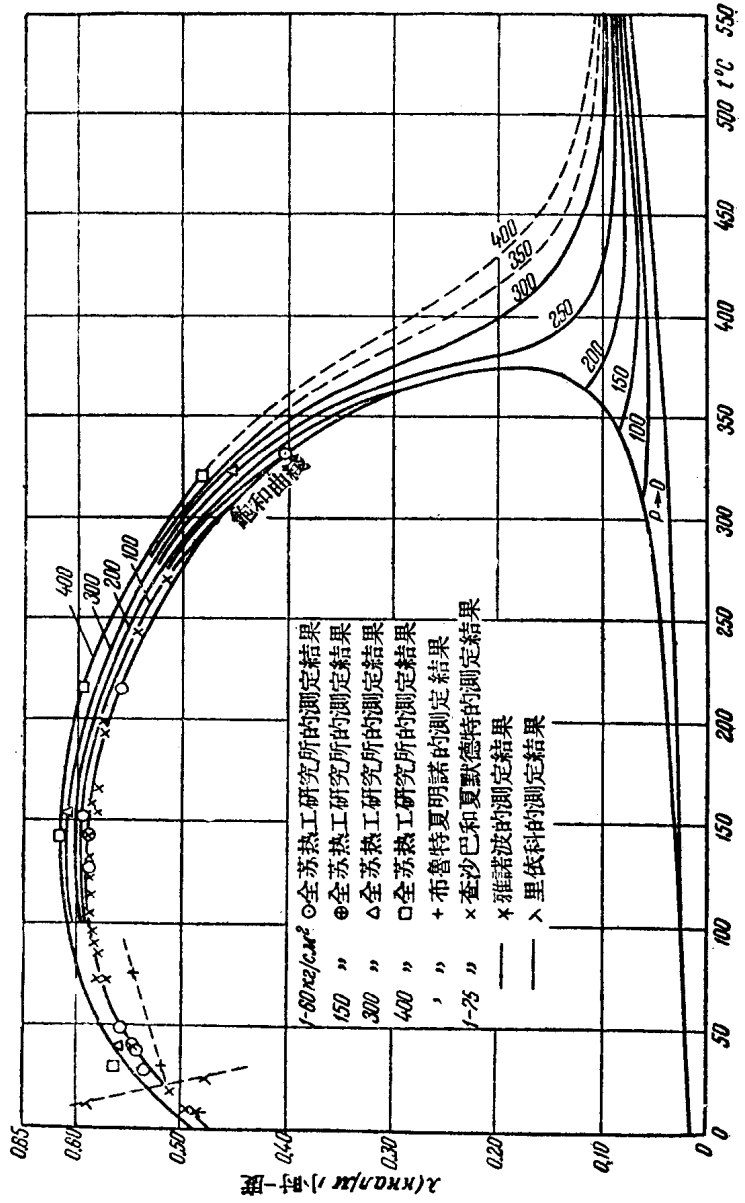
伏加洛佛佳圖表的数据与“骨幹”表的数据的差別在於对第三屆国际會議所規定的容許誤差的安排。

全苏热工研究所(BTH)对参数範圍达 600°C 和 300 公斤/平方公分的水蒸气热力性質进行了詳細的試驗。根据全苏热工研究所对 300 公斤/平方公分和 600°C 的試驗数据以及其他試驗机构的試驗数据(达 450°C 和 200 公斤/平方公分)，制成了全苏热工研究所的一套热力学圖表，在該表所包括的参数範圍內，所有状态完全不用延长的办法，使全苏热工研究所的圖表最确切可靠。

在高压和高温区域内全苏热工研究所进行了下列参数的試驗。

a) 温度从 30 到 325°C ，压力从 1 到 400 公斤/平方公分範圍內水的导热；

b) 蒸汽温度从 70 到 500°C ，压力从 0.1 到 300 公斤/平方公分水



蒸汽的导热；

- b) 在压力到 300 公斤/平方公分 150—600°C 温度間距內水蒸汽的粘度；从 0°C 到临界温度水的粘度；
- r) 压力从 200 到 300 公斤/平方公分和温度从 420 到 600°C 水蒸汽的比热；
- d) 蒸汽的比容，包括超临界压力区域在内。

水和蒸汽的导热

按全苏热工研究所的数据，水和水蒸汽导热与压力和温度的关系曲线示如圖 1-1。从圖 1-1 的曲线可知，饱和曲线上水的导热是随着温度的提高而增加的，直到 130°C，繼續增加温度則导热下降。

随着压力增加而来的水和蒸汽导热的变化变更了热交换的条件（第四和第五章）。

从作为例子的式 (a) 可知，从管壁到过热蒸汽的放热系数是与蒸汽导热的 0.55 方成正比的：

$$\alpha_2 = A \frac{(wd\rho)^{0.8}}{d} \cdot \frac{\lambda^{0.55}}{\mu^{0.55}} c_p^{0.45}, \quad (a)$$

式中 α_2 ——放热系数，大卡/平方公尺·小时·度；

A ——系数(常数)；

w ——介质(蒸汽)速度，公尺/秒；

d ——管子直徑，公尺；

λ ——介质导热系数，大卡/公尺·小时·度；

μ ——介质的动力粘度，公斤·秒/平方公尺；

c_p ——介质的恒压比热，大卡/公斤·度。

蒸汽的比热

表 1-1 列举了压力为 30, 90, 120 和 200 公斤/平方公分和温度到 520°C 的过热蒸汽真正的比热值。在恒温时蒸汽的比热随压力的增加而增大；恒压时蒸汽比热随温度的提高而减小。

表 1-1

		压力不变时，过热蒸汽真正的比热值 c_p , 大卡/公斤一度, 当温度 t_2 , °C													
压 力 公 斤/ 平 方 公 分	240	260	280	300	320	340	360	380	400	420	440	460	480	500	520
30	0.815	0.697	0.637	0.620	0.579	0.565	0.555	0.549	0.544	0.542	0.540	0.539	0.538	0.538	0.539
90	—	—	—	—	1.106	0.910	0.811	0.746	0.702	0.672	0.648	0.632	0.618	0.608	0.600
120	—	—	—	—	—	1.358	1.058	0.917	0.826	0.766	0.721	0.690	0.667	0.646	0.636
200	—	—	—	—	—	—	—	2.29	1.467	1.167	1.608	0.903	0.839	0.791	0.753

在临界和超临界区域内(按全苏热工研究所的数据)，水蒸汽的比热在一定温度下达到最大值，然后随温度的繼續提高而下降。

比較压力 30 公斤/平方公分 400°C 和 90 公斤/平方公分，450°C 的过热蒸汽的比热可作为具体例子。前者的比热 $c_p^{90} = 0.544$ 大卡/公斤·度，后者的比热 $c_p^{90} = 0.64$ 大卡/公斤·度。在不同的压力的情况下，1 公斤过热蒸汽获得 1 大卡时其蒸汽温度的变化为：

$$\Delta t_{ne}^{90} = \frac{1}{0.544} = 1.84^\circ\text{C}; \quad \Delta t_{ne}^{90} = \frac{1}{0.64} = 1.57^\circ\text{C}.$$

在热力情况不稳定的工作过程中(当燃料的品質变更等等)，高压鍋爐蒸汽过热器内过热蒸汽温度的变化幅度比压力較高的和低压鍋爐要小些。

水和蒸汽的粘度

按照全苏热工研究所的数据，水和饱和水蒸汽(饱和曲线上)的动

表 1-2

温 度, °C	饱和压力, 公斤 平方公分	水		蒸 汽	
		动力粘度, $\mu \cdot 10^6$	运动粘度, $\nu \cdot 10^6$	动力粘度, $\mu \cdot 10^6$	运动粘度, $\nu \cdot 10^6$
		公斤·秒 平方公尺 ①	平方公尺 秒 ②	公斤·秒 平方公尺	平方公尺 秒
230	28.5	12.2	0.145	1.77	1.25
240	34.1	11.7	0.141	1.81	1.06
250	40.6	11.2	0.137	1.86	0.913
260	47.9	10.8	0.135	1.92	0.794
270	56.1	10.4	0.133	1.97	0.684
280	65.5	10.0	0.131	2.03	0.599
290	75	9.6	0.129	2.10	0.526
300	87.6	9.3	0.128	2.17	0.461
310	110.6	9.0	0.128	2.24	0.402
320	115.1	8.7	0.128	2.33	0.353

① μ ——动力粘度系数或摩擦系数。

② ν ——运动粘度系数，等於 $\frac{\mu}{\rho}$ ，內中 ρ ——介質的密度等於 $\frac{\gamma}{g}$ ，而 g 为重力加速度。